

تبدال دو گانه K-Ca توسط یک رس جدا شده از خاک با مینرالوژی غالب ایلایت (میکا): ۱- اثر تخلیه- فروریزش رس ایلایت (میکا) بر انتخابگری K-Ca

حسن توفیقی^۱، مریم خلیلی راد^{۲*}

۱. دانشیار، دانشکده مهندسی و فناوری کشاورزی، پردیس کشاورزی و منابع طبیعی، دانشگاه تهران
 ۲. دانشجوی دکتری، دانشکده مهندسی و فناوری کشاورزی، پردیس کشاورزی و منابع طبیعی، دانشگاه تهران
- (تاریخ دریافت: ۱۳۹۵/۱/۱۵ - تاریخ تصویب: ۱۳۹۵/۴/۲۷)

چکیده

در این مطالعه اثر تخلیه پتانسیم از یک رس ایلایت جدا شده از خاک بر انتخابگری تبدالی K-Ca در قدرت یونی $0/3$ مولار مورد بررسی قرار گرفت. در اثر تیمار رس با محلول تترا فنیل برات سدیم + کلرید سدیم برای مدت زمان های ۶، ۲۵ و ۱۵۰ ساعت به ترتیب $40/7$ ، $30/8$ و $22/1$ درصد از پتانسیم کل از نمونه های رس آزاد گردید. سرعت تخلیه پتانسیم در ابتدا خیلی بیشتر بود و با گذشت زمان کاهش یافت. با افزایش درصد تخلیه ظرفیت تبدل کاتیونی (CEC) نیز افزایش یافت که گویای آنست که حداقل بخشی از پتانسیم آزاد شده از رس تخلیه گردیده است. در این بررسی خطای اندازه گیری کلسیم تبدالی در صورت عدم تصحیح انحلال آهک بین $31/2$ تا $76/7$ درصد بود. برآورد تفاضل دفع و جذب آنیونی نیز نشان داد که در این رس ها جذب آنیونی بیشتر از دفع آنیونی می باشد. مقایسه همدماهای تبدالی K-Ca با همدمای عدم ترجیح نشان داد که در رس تخلیه نشده تا $0/8$ $E_{K^{+}}$ و در رس های تخلیه شده تا $0/76$ $E_{K^{+}}$ پتانسیم نسبت به کلسیم و در $0/8$ $E_{K^{+}}$ کلسیم اندکی بر پتانسیم ترجیح داده می شود. مقایسه همدماهای تبدالی رس های تخلیه شده با هم نشان داد که تخلیه پتانسیم از رس ظاهرآ بر ویژگی های ترجیحی تبدالگر اثری نداشته است. دیفرکتوگرام های حاصل پس از اعمال تیمار با جز هم ارز $0/05$ پتانسیم نشان داد که در جریان تبدل K-Ca فرو ریزش لایه ای صورت گرفته است، اما مقادیر CEC گویای آن است که فرو ریزش لایه ای در این رس ها کامل نبوده است. با افزایش قدرت یونی ترجیح ظاهری K^{+} افزایش یافت و با کاهش آن یا رقیق شدن محلول تعادلی، Ca^{2+} بیشتری جذب گردید. تفاوت همدماها در دو قدرت یونی متفاوت بیانگر اثر رقت- ظرفیت می باشد.

واژه های کلیدی: انتخابگری، ایلایت تخلیه شده از K، تبدل K-Ca، تترا فنیل برات سدیم، قدرت یونی

تحت تأثیر قرار می گیرد (Goulding and Talibudeen, 1980; Goulding, 1983; Chung *et al.*, 1994

مقدمه

ویژگی های تبدل کاتیونی میکای هاوادیده به طور قابل ملاحظه ای از سایر تبدالگرها در خاک متفاوت می باشد (Dolcater *et al.*, 1968; Le Roux and Rich, 1969). اندازه گیری انتخابگری در این تبدالگرها با دشواری زیادی همراه است، چراکه میکاهای هاوادیده تبدالگرهایی با انتقال فازی (phase transition) هستند، یعنی ساختار کانی در طی اندازه گیری دچار تغییر می گردد. بر روی میکاهای هاوادیده و یا ایلایت مکان های تبدالی متفاوتی وجود دارد. Bolt *et al.* (1963) سه نوع مکان تبدالی را در ایلایت پیشنهاد نمودند که شامل مکان های سطحی، مکان های داخل شبکه ای نزدیک به لبه ها و مکان های داخل شبکه ای دور از لبه ها می باشد. در کانی های میکایی وقتی پتانسیم توسط یون های هیدراته جایگزین می گردد، انبساط ساختاری ناشی از آن باعث تنش (Strain) در

ترجمیح نسبی کاتیون ها توسط یک تبدالگر در کنار ظرفیت تبدل کاتیونی از جمله عوامل مهم تعیین کننده نگهداری و انتقال کاتیون ها در خاک محسوب می گردد. هر چند در خاک تعداد کاتیون های رقابت کننده زیاد می باشد، مطالعات تبدل کاتیونی اغلب در سیستم های دو گانه، گاهی در سیستم های سه گانه و به ندرت در سیستم های چهار گانه صورت گرفته است، زیرا اینگونه مطالعات با افزایش تعداد کاتیون ها پیچیده و در مواردی غیر عملی می گردد. در نتیجه معمولاً اینگونه بررسی ها در سیستم های دو گانه صورت گرفته است (Evangelou and Lumbanraja, 2002). انتخابگری کاتیونی تبدالگرهای خاک توسط عواملی از قبیل غلظت محلول، pH، دما، اندازه، ظرفیت و انرژی هیدریشن یون و نیز ویژگی های ساختاری و بار تبدالگرها،

* نویسنده مسئول: m_khalilirad@ut.ac.ir

(and Komarneni, 2009). با توجه به اینکه فرایند تخلیه پتاسیم از رس‌های میکایی به طور طبیعی در خاک صورت می‌گیرد و از طرف دیگر همزمان ثبیت پتاسیم نیز متعاقب کوددهی به قوی می‌پیوندد این سوال مطرح می‌گردد که این فرایند تخلیه-فروزش چه تأثیری بر انتخابگری رس بر جای می‌گذارد. لذا، هدف از مطالعه حاضر بررسی اثر تخلیه یک رس ایلایت جدا شده از یک خاک با مینرالوژی غالب ایلایت (میکا) از پتاسیم و فرو ریزش بعدی آن بر انتخابگری K-Ca می‌باشد که تا کنون انجام نگرفته است.

مواد و روش‌ها

آماده سازی نمونه‌های خاک برای انجام آزمایشات تبادلی جداسازی بخش رس خاک

در این مطالعه از یک خاک با مینرالوژی غالب ایلایت استفاده شد. خاک برداشت شده پس از هوا خشک و کوبیده شدن از الک ۲ میلی متری عبور داده شد. برای جداسازی جز رس خاک از روش ته نشینی استفاده گردید. به این منظور ۱۰۰ گرم از خاک مورد مطالعه در بستر ۵۰۰ میلی متری تو زین و به آن ۲۰۰ میلی لیتر محلول ۵۰ گرم در لیتر هگزا متا فسفات سدیم اضافه گردید. محتویات داخل بستر به مدت چند دقیقه با همزن دستی و سپس به مدت ۵ دقیقه با همزن الکتریکی بهم زده شد. پس از آن، محتویات داخل ظرف همزن به استوانه مدرج یک لیتری منتقل گردید و با آب مقطر به حجم رسانیده شد. عمل جداسازی رس مطابق قانون استوکس انجام شد. به این ترتیب که محتویات داخل استوانه به مدت یک دقیقه با همزن دستی بهم زده شد و پس از آن به مدت ۸ ساعت (مطابق قانون استوکس و با توجه به دما) به حال خود رها گردید. پس از گذشت ۸ ساعت، سوسپانسیون تا عمق ۱۰ سانتی متری از سطح به خارج سیفون و در ظرفی نگهداری شد. سیلندر مجدداً با آب و هگزا متا فسفات سدیم به حجم رسانیده شد و عمل هم زدن سوسپانسیون، مهلت دادن به مدت ۸ ساعت و سیفون کردن تکرار گردید. این عمل تا زمانی که عمق ۱۰ سانتی متری بالای سیلندر نسبتاً زلال شود، ادامه یافت. جز رس جدا شده با اضافه کردن کلرید سدیم به ظرف حاوی سوسپانسیون، فلوكوله شد و محلول صاف رویی سیفون گردید. رس فلوكوله شده به لوله سانتریفیوژ منتقل و در ۷۰۰۰ دور در دقیقه به مدت ۱۵ دقیقه سانتریفیوژ گردید. سپس رس چندین بار با آب مقطر و یا آب و الکل شسته شد و در انتهای به ظروف شیشه‌ای انتقال و خشک گردید. رس‌های جدا شده پس از خشک شدن کوبیده و

میکا گردیده که حاصل آن ترک‌های ریز بوده و ذره پیوسته Raussel Colom et al., 1965; Scott and Smith, 1967; Newman and Brown, 1969; Brown and Newman, 1970 (Brown, 1969; Brown and Newman, 1970). این جدا شدن واحدها از هم ظاهراً غیر قابل برگشت بوده به طوری که با جذب مجدد پتاسیم توسط ساختار، کریستال اولیه حاصل نمی‌گردد. HAFM (2010) Sa'nchez-Pastor et al (Hydro Thermal Atomic Force Microscopy) در کانی فلوگوپایت را مورد مطالعه قرار دادند. تبادل پتاسیم با سدیم باعث انسباط لایه‌ها در حدود 5A° گردید. علاوه بر انسباط نا منظم لایه‌ها، متورم شدن یا تحدب لایه‌ها به صورت منظم هم مشاهده گردید. همچنین مشخص گردید مکانیسم تبادل یک مرحله‌ای می‌باشد. به علاوه، انتخابگری برای K در لایه‌های نزدیک به سطح کمتر بود که علت آن انرژی تنفسی کمتر برای انسباط این لایه‌ها گزارش گردید. همچنین با انسساط فرآیند معکوس یعنی تبادل پتاسیم با سدیم، لایه‌های انسساط یافته کاملاً فروزش نمود و در هنگام فرو ریزش در مناطقی سدیم در بین لایه‌ها به دام افتاد. ترجیح میکاهای هوادیده برای یون‌های تک ظرفیتی بزرگ مانند K, Cs, Rb و NH_4 در مقایسه با Ca, Mg, Sr و سایر یون‌های با غشاء هیدراته بزرگ به خوبی شناخته شده است (Sawhney, 1970; Kozak and Huang, 1971; Murdock and Rich, 1972; Shen and Kemper, 1997). وجود مناطق گوهای شکل در مرز بین مناطق تخلیه شده از پتاسیم و یون‌های مشابه قویاً ترجیح می‌دهند به عنوان Bolt et al, 1963؛ علت این ترجیح پیشنهاد شده است (Jackson, 1963; Rich and Black, 1964). تبادل کاتیونی در سیستم‌های دو تایی شامل سدیم، پتاسیم، کلسیم و منیزیم در رس ایلایت و ایلایت جدا شده از خاک حاکی از ترجیح پتاسیم نسبت به سه کاتیون دیگر و کلسیم و منیزیم نسبت به سدیم Chi et al, 1977; Goulding (1983); Tucker, 1985؛ می‌باشد (Sposito et al, 1986). مطالعه انتخابگری Rb و Dr میکاهای مسکوایت و بایوتایت تخلیه شده از پتاسیم نشان داد که ترجیح Rb نسبت به Sr در درجه متوسط تخلیه پتاسیم به حداقل رسیده و سپس با تخلیه بخش اعظم پتاسیم بین لایه‌ای، این ترجیح کاهش می‌یابد (Le Roux and Rich, 1969). همچنین در مطالعه دیگری نشان داده شد که بایوتایت و مسکوایت تخلیه شده از پتاسیم در جز هم ارز Km^+ , این یون را بیشتر ترجیح می‌دهند و همچنین در جز هم ارز Km^+ , Sr^{+2} بایوتایت این یون را ترجیح می‌دهد در حالی که مسکوایت آنرا ترجیح نمی‌دهد (Cho

محلول فوق به حجم رسانیده شد (Smith and Scott, 1966). غلظت پتاسیم در بالن ژوژه پس از رقیق‌سازی نمونه‌ها و تهیه استانداردهای مربوطه با استفاده از فلیم فوتومتر اندازه‌گیری شد.

تهیه اسلاید برای دیفرکتومتری

به منظور بررسی رس‌های تخلیه شده از پتاسیم اسلايدهایی به صورت زیر تهیه شد:

۱- رس تخلیه نشده اشباع از منیزیم (Whitting and Allardice, 1986)

۲- رس تخلیه شده برای مدت زمان ۶ ساعت اشباع از منیزیم

۳- رس تخلیه شده برای مدت زمان ۲۵ ساعت اشباع از منیزیم

۴- رس تخلیه شده برای مدت زمان ۱۵۰ ساعت اشباع از منیزیم

۵- رس تخلیه نشده اشباع از کلسیم پس از سه بار شستشو با محلول با جز هم ارز ۰/۰۵ پتاسیم با قدرت یونی ۰/۳ مولار

۶- رس تخلیه شده برای مدت زمان ۶ ساعت اشباع از کلسیم پس از سه بار شستشو با محلول با جز هم ارز ۰/۰۵ پتاسیم با قدرت یونی ۰/۳ مولار

۷- رس تخلیه شده برای مدت زمان ۲۵ ساعت اشباع از کلسیم پس از سه بار شستشو با محلول با جز هم ارز ۰/۰۵ پتاسیم با قدرت یونی ۰/۳ مولار

۸- رس تخلیه شده برای مدت زمان ۱۵۰ ساعت اشباع از کلسیم پس از سه بار شستشو با محلول با جز هم ارز ۰/۰۵ پتاسیم با قدرت یونی ۰/۳ مولار

اسلايدها پس از ساخت سوسپانسیونی با غلظت یکسان از هر یک از رس‌های تیمار شده، تهیه و دیفرکتومترها با استفاده از دستگاه دیفرکتومتر ۵۰۰ ساخت کارخانه زیمنس و توسط لامپ مسی با ولتاژ ۴۰ کیلووات و شدت جریان ۳۵ میلی آمپر و با زاویه ۲۰، ۲۵، ۳۵ درجه آماده گردیدند.

آزمایش تبادلی K-Ca در رس‌ها

۰/۵ گرم از هر یک از رس‌های تخلیه شده (۶ ساعت، ۲۵ ساعت و ۱۵۰ ساعت) و نیز رس جدا شده از خاک قبل از تخلیه (پس از اشباع با کلسیم) در ۲ تکرار درون لوله‌های سانتریفیوژ ۵۰ میلی‌لیتر توزین گردید. لوله‌های حاوی رس ابتدا توزین و سپس به هر نمونه ۴۰ میلی‌لیتر از محلول‌های حاوی اجزای هم ارز متفاوت پتاسیم اضافه گردید. جز هم ارز پتاسیم در محلول‌های مورد استفاده ۰/۰۵، ۰/۱، ۰/۲، ۰/۳، ۰/۴۵، ۰/۶، ۰/۷۵، ۰/۸۵ و ۱ بود. محلول‌ها در قدرت یونی ثابت ۰/۳ مول بر لیتر تهیه شدند. برای تهیه محلول‌ها از نمک کلرید کلسیم و کلرید پتاسیم استفاده گردید. پس از افزودن محلول‌های فوق الذکر به

از الک ۰/۵ میلی‌متری عبور داده شد.

اندازه‌گیری پتاسیم کل رس

پس از جدا سازی جز رس خاک، مقداری از رس توزین و پس از انتقال به لوله سانتریفیوژ، سه بار و هر بار با ۳۰ میلی‌لیتر از محلول کلرید کلسیم ۱ مولار شسته شد. در ادامه نمونه‌ها ابتدا با آب مقطر و سپس با آب و الكل شسته شدند. محتویات داخل لوله سانتریفیوژ با حداقل مقدار الكل به ظرفی انتقال و خشک گردید. سپس نمونه خشک شده، کوبیده شد. ۰/۱ گرم از رسی که به این ترتیب تهیه شد در دو تکرار به ظروف تفلون انتقال یافت. پتاسیم کل موجود در رس با استفاده از روش هضم HF اندازه گیری گردید (Bernas, 1968; Buckley and Cranston, 1971).

تخلیه پتاسیم از رس

به منظور تهیه رس‌های تخلیه شده از پتاسیم، از محلول ۰/۲ مولار تترا فنیل برات سدیم + ۱ مولار کلرید سدیم استفاده شد (Smith and Scott, 1966). ۳۰ گرم از رس جدا شده از خاک توزین و سپس ۵۰۰ میلی‌لیتر از محلول فوق الذکر به آن اضافه شد. نمونه‌ها بهم زده شد تا محلول با رس به خوبی مخلوط گردد. درب ظرف بسته شد و برای مدت زمان مورد نظر به حال خود رها شد. پس از انقضای زمان مورد نظر (۶ ساعت، ۲۵ ساعت، ۱۵۰ ساعت)، نمونه‌ها بلافضله سانتریفیوژ و سپس چهار بار با محلول ۰/۵ مولار کلرید کلسیم و دو بار با محلول ۰/۰۰۵ مولار کلرید کلسیم به منظور خارج کردن باقی‌مانده تترا فنیل برات سدیم شسته شدند. نمونه‌های تهیه شده خشک و از الک ۰/۵ میلی‌متری عبور داده شدند. سپس ظرفیت تبادل کاتیونی در رس‌های تخلیه شده و نیز رس اولیه جدا شده از خاک با استفاده از روش باور تعیین گردید (Bower, 1952).

تعیین مقدار پتاسیم تخلیه شده از رس

برای اندازه‌گیری میزان پتاسیم آزاد شده پس از مدت زمان معین، با رعایت نسبت‌ها ۱ گرم از رس در دو تکرار در لوله‌های سانتریفیوژ توزین و به آن ۱۶/۶۷ میلی‌لیتر از محلول حاوی ۰/۲ مولار تترا فنیل برات سدیم + ۱ مولار کلرید سدیم اضافه و شیک گردید. پس از انقضای زمان (۶ ساعت، ۲۵ ساعت، ۱۵۰ ساعت) مورد نظر محتویات لوله به بشر حاوی ۲۰۰ میلی‌لیتر از محلول ۱ نرمال کلرید آمونیوم +۰/۰۴ مولار کلرید جیوه جوشان منتقل و به مدت ۲۰ دقیقه جوشانده شد. پس از سرد شدن محلول، محتویات بشر در یک بالن ژوژه ۲۵۰ میلی‌لیتر صاف گردید. محتویات روی صافی با محلول ۱ نرمال کلرید آمونیوم +۰/۰۴ مولار کلرید جیوه اندک شسته و سپس بالن ژوژه با

$$\text{CaX} = \text{TCa} - (\text{TCI} + \text{C}_{\text{SO}_4^{2-}} + \text{C}_{\text{HCO}_3^-}) \quad \tilde{\text{E}}_{\text{Ca}} - \text{Ca}_{\text{calcite}} - \text{Ca}_{\text{gypsum}}$$

$$\text{Ca}_{\text{calcite}}(\text{mmolc/Kg}) = \text{T}_{\text{HCO}_3^-} - \text{C}_{\text{HCO}_3^-}$$

$$\text{Ca}_{\text{gypsum}}(\text{mmolc/Kg}) = \text{T}_{\text{SO}_4^{2-}} - \text{C}_{\text{SO}_4^{2-}}$$

$$\text{C}_{\text{HCO}_3^-}(\text{mmolc/Kg}) = [\text{HCO}_3^-] \text{ TCI} / [\text{Cl}]$$

$$\text{C}_{\text{SO}_4^{2-}}(\text{mmolc/Kg}) = [\text{SO}_4^{2-}] \text{ TCI} / [\text{Cl}]$$

$$\text{CEC} = \text{KX} + \text{CaX}$$

$$\text{CEC} (\text{mmolc/kg})$$

در روابط فوق:

$$\text{B} = \text{TK} \quad \text{مقدار کل K موجود در بالن ژوژه حاوی محلول}$$

(محلول حاصل از ۳ بار شستشو با NaNO_3) بر حسب

$$\text{mmolc/kg}$$

$$\text{B} = \text{TCa} \quad \text{مقدار کل Ca موجود در بالن ژوژه حاوی محلول}$$

(محلول حاصل از ۳ بار شستشو با NaNO_3) بر حسب

$$\text{mmolc/kg}$$

$$\text{B} = \text{TCI} \quad \text{مقدار کل Cl موجود در بالن ژوژه حاوی محلول}$$

(محلول حاصل از ۳ بار شستشو با NaNO_3) بر حسب

$$\text{mmolc/kg}$$

$$\text{B} = \text{THCO}_3 \quad \text{مقدار کل HCO}_3 \text{ موجود در بالن ژوژه حاوی محلول}$$

(محلول حاصل از ۳ بار شستشو با NaNO_3) بر حسب

$$\text{mmolc/kg}$$

$$\text{B} = \text{TSO}_4 \quad \text{مقدار کل SO}_4 \text{ موجود در بالن ژوژه حاوی محلول}$$

(محلول حاصل از ۳ بار شستشو با NaNO_3) بر حسب

$$\text{mmolc/kg}$$

$$\text{B} = [\text{HCO}_3^-] \quad \text{غذت یون در محلول A} \quad \text{بر حسب}$$

$$(\text{mmolc/L})$$

روش II:

$$\text{KX} = \text{TK} - \Theta_v[\text{K}]$$

$$\text{CaX} = \text{TCa} - \text{T}_{\text{HCO}_3^-} - \text{T}_{\text{SO}_4^{2-}} + \Theta_v([\text{HCO}_3^-] + [\text{SO}_4^{2-}] - [\text{Ca}])$$

$$\text{CIX} = \text{TCI} - \Theta_v[\text{Cl}]$$

$$\text{HCO}_3 X = \frac{[\text{HCO}_3^-] \text{ CIX}}{[\text{Cl}]}$$

$$\text{SO}_4 X = \frac{[\text{SO}_4^{2-}] \text{ CIX}}{[\text{Cl}]}$$

$$\text{CEC} = \text{KX} + \text{CaX} - \text{CIX} - \text{SO}_4 X - \text{HCO}_3 X$$

$$\text{CEC} (\text{mmolc/kg})$$

Θ_v = حجم محلول باقیمانده (پس از ۳ بار شستشو با محلول اولیه) تقسیم بر وزن خاک بر حسب (L/kg). در این تحقیق دانسیته آب ۱ گرم بر سانتی متر مکعب فرض گردید. پس از محاسبه مقادیر پتانسیم و کلسیم محلول و تبادلی، جز هم ارز پتانسیم و کلسیم در فاز محلول و تبادلی با استفاده از روابط زیر تعیین گردید:

$$E_K = \frac{[\text{KX}]}{[\text{CaX}_2] + [\text{KX}]}$$

$$\tilde{E}_K = \frac{[K]}{[Ca] + [K]}$$

در اینجا E_K جز هم ارز K تبادلی، \tilde{E}_K جز هم ارز K

نمونه‌ها، لوله‌های حاوی نمونه‌های رس ابتدا به مدت ۱۵ دقیقه تکان داده شده و سپس به منظور جداسازی فاز محلول و جامد در ۲۵۰۰ دور در دقیقه سانتریفیوژ و محلول زلال رویی دور ریخته شد. این عمل سه بار تکرار و محلول تحت عنوان محلول A نامیده شد. سپس به منظور تعیین مقدار محلول باقیمانده در انتهای مرحله اول، لوله‌های حاوی نمونه‌های رس وزن گردید. در مرحله بعد برای تعیین مقدار کاتیون‌های موجود در فاز تبادلی از محلول ۱ مولار نیترات سدیم استفاده شد. نمونه‌های رس سه بار با ۳۳ میلی لیتر از این محلول شسته شد و هر بار پس از تکان دادن و سانتریفیوژ، محلول رویی در بالن ژوژه ۱۰۰ میلی لیتر جمع آوری گردید. محنتیات بالن با استفاده از نیترات سدیم به حجم رسانده شد. این محلول، محلول B نامیده شد. در محلول‌های A غلظت‌های K^+ , Ca^{2+} , HCO_3^- , Cl^- , SO_4^{2-} و در محلول B نیز غلظت‌های K^+ , Ca^{2+} , HCO_3^- , CO_3^{2-} اندازه‌گیری شد. برای تهیه تمام محلول‌ها، از مواد شیمیابی شرکت مرک آلمان با درجه GR استفاده شد. پتانسیم در محلول‌های A و B با استفاده از دستگاه فلیم‌فتومتر، کلسیم توسط روش کمپلکسومتری (Lanyon and Heald, 1982) کلراید با دستگاه کلراید آنالایزر و کربنات و بی‌کربنات با استفاده از روش تیتراسیون (Loeppert and Suarez, 1996) اندازه‌گیری گردید. با استفاده از داده‌های به دست آمده جز هم ارز K^+ و Ca^{2+} در فاز محلول و تبادلی محاسبه و همدماهای تبادلی Ca نسبت به همدماهی عدم ترجیح برای رس‌هایی که به درجات متفاوت از پتانسیم تخلیه شده بودند رسم گردید. در این تحقیق خطای ناشی از هوادیدگی و انحلال کلسیات طی مراحل آزمایش، محاسبه و در تعیین جز هم ارز کلسیم در نظر گرفته شد. در آزمایش دیگری تبادل K-Ca در قدرت یونی ۰/۰۰۲ مولار در رس‌های تخلیه شده برای مدت زمان ۶ ساعت و ۱۵۰ ساعت انجام شد. جز هم ارز پتانسیم در محلول‌های استفاده شده در این آزمایش ۰/۰۰۵، ۰/۰۱، ۰/۰۲، ۰/۰۴۵ و ۰/۰۶ بود. این سری از آزمایش‌های تبادلی دقیقاً با روش مشابهی با آزمایش تبادل K-Ca در رس‌های تخلیه شده در قدرت یونی ۰/۰۳ مولار انجام گرفت.

محاسبات جز هم ارز عناصر در فازهای محلول و تبادلی در این تحقیق برای محاسبه جز هم ارز پتانسیم و کلسیم در فاز محلول و تبادلی از دو روش استفاده شد (Amrhein and Suarez, 1990).

روش I:

$$\text{KX} = \text{TK} - (\text{TCI} + \text{C}_{\text{SO}_4^{2-}} + \text{C}_{\text{HCO}_3^-}) \tilde{E}_K$$

بر این اساس، می‌توان غلظت تترا فنیل برات سدیم را تقریباً ثابت در نظر گرفت. علت زیاد بودن سرعت آزاد شدن پتاسیم در زمان کم آن است که ذرات میکا (در اندازه رس) بخشی از پتاسیم خود را در اثر هوادیدگی لایه‌ای (Layer weathering) سریعاً از دست می‌دهند و متعاقب این مرحله سریع، آزاد شدن پتاسیم عمدتاً در اثر هوادیدگی لبه‌ای (Edge weathering) (Scott, 1968). آزاد شدن پتاسیم در اثر هوادیدگی لبه‌ای فرآیندی است که توسط دیفیوژن کنترل می‌گردد (Rausell-Colom *et al.*, 1965; Martin and Sparks, 1989; Fanning *et al.*, 1983) و لذا عواملی که بر دیفیوژن پتاسیم از میان لایه‌ها به بیرون اثر می‌گذارند، از جمله طول مسیر، بر سرعت آزاد شدن مؤثر می‌باشند. از طرف دیگر، در ذرات ریز میکا اگر در اثر هوادیدگی لایه‌ای، لایه‌ای از پتاسیم تخلیه گردد، پتاسیم در لایه‌های مجاور با نیروی بیشتری نگه داشته می‌گردد (Bassett, 1959; Scott, 1968; Norrish, 1973) در توضیح این پدیده به چرخش OH های ساختار رس به سمت میان لایه‌های تخلیه شده اشاره کرده است به صورتی که پروتون OH در فاصله دورتری از پتاسیم موجود در لایه‌های تخلیه نشده قرار گرفته و لذا این پتاسیم‌ها به علت کاهش دافعه با نیروی بیشتری نگه داشته می‌شوند. این عوامل سبب می‌گردد که متعاقب مرحله سریع آزاد شدن پتاسیم، سرعت آزاد شدن شدیداً کاهش یابد. فرآیند آزاد شدن پتاسیم توسط تترا فنیل برات سدیم شbahت زیادی به تخلیه پتاسیم از میکا (ایلات) در خاک دارد. در خاک به علت جذب پتاسیم توسط ریشه‌ها و آبشوبی خاک، فعالیت پتاسیم در محلول خاک کاهش یافته و در نتیجه به سبب شیب غلظتی ایجاد شده، پتاسیم ثبت شده آزاد می‌گردد. شکل ۱ نشان می‌دهد که با افزایش تخلیه پتاسیم، قدرت پتاسیم‌دهی (K supplying power) کانی‌های میکائی به صورت نمائی کاهش می‌یابد.

شکل ۲ دیفرکتوگرام یا انگاره XRD (X-Ray Diffraction)

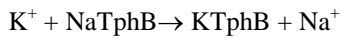
رس جدا شده از خاک و اشباع شده با Mg را نشان می‌دهد. آنالیز قبلی همین رس نشان داد که پیک $14^{\circ} A$ در این شکل XRD مربوط به وجود کانی کلرایت در رس می‌باشد. انگاره XRD کانی‌های مسکوایت، بایوتایت و ایلات اساساً شامل دو پیک قوی 10° و $3/3^{\circ}$ آنگستروم و یک پیک ضعیفتر در ناحیه 5° آنگستروم می‌باشد (Fanning *et al.*, 1989).

بر این اساس در این رس امکان حضور هر یک و یا هر سه کانی وجود دارد. اما در صورتی که کانی مسکوایت غالب بود می‌بایست یک پیک $5^{\circ} A$

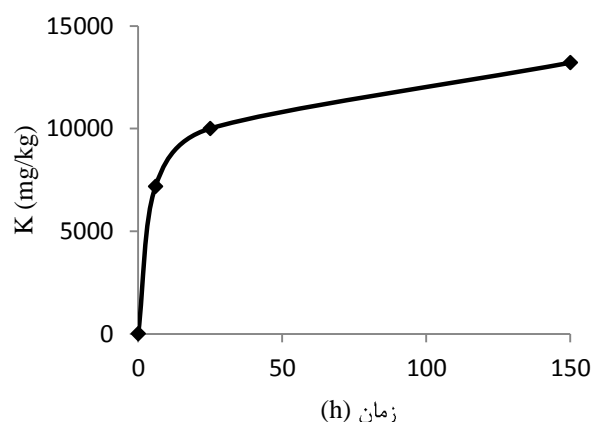
محلول، $[KX]$ و $[CaX_2]$ ، غلظت‌های K و Ca در فاز جذب شده بر حسب mmol ckg^{-1} ، غلظت‌های K و Ca در محلول A بر حسب mmol cL^{-1} و X بیانگر یک مول بار منفی می‌باشد.

نتایج و بحث

واکنش تترا فنیل برات سدیم با پتاسیم را می‌توان به صورت زیر نشان داد:



در اثر تشکیل رسوب نامحلول تترا فنیل برات پتاسیم، فعالیت پتاسیم در محلول شدیداً کاهش یافته و شیب غلظتی ایجاد شده سبب آزاد شدن پتاسیم از کانی‌های پتاسیم‌دار می‌گردد. مقدار پتاسیم کل رس مورد استفاده برابر با $32/47$ گرم بر کیلوگرم یا $3/91$ درصد K_2O بود. پس از گذشت $6/25$ ساعت از تماس نمونه‌های رس با محلول تترا فنیل برات سدیم به ترتیب $22/1$, $20/8$ و $40/7$ درصد از پتاسیم کل از نمونه‌های رس آزاد گردید. شکل ۱ مقدار پتاسیم آزاد شده از نمونه‌های رس را با زمان نشان می‌دهد. سرعت تخلیه پتاسیم در ابتدا بیشتر بوده و با گذشت زمان کاهش یافت. مقدار پتاسیم آزاد شده در ۶ ساعت اولیه تقریباً برابر با مقدار پتاسیم آزاد شده در 144 ساعت بعدی می‌باشد. مشابه نتایج اخیر توسط Ross (1971) گزارش شده است.



شکل ۱- مقدار پتاسیم آزاد شده از رس با زمان

کاهش سرعت آزاد شدن پتاسیم با زمان به سبب کاهش غلظت آنیون تترا فنیل برات با زمان نیست، زیرا نسبت مولی آنیون تترا فنیل برات به پتاسیم کل رس در سوسپانسیون تترا فنیل برات سدیم-رس برابر $4/5$ می‌باشد. به عبارت دیگر در انتهای زمان‌های تماس $6/25$ و $150/40$ ساعت، به ترتیب تنها $5/7$ و $7/7$ درصد تترا فنیل برات سدیم مصرف شده است.

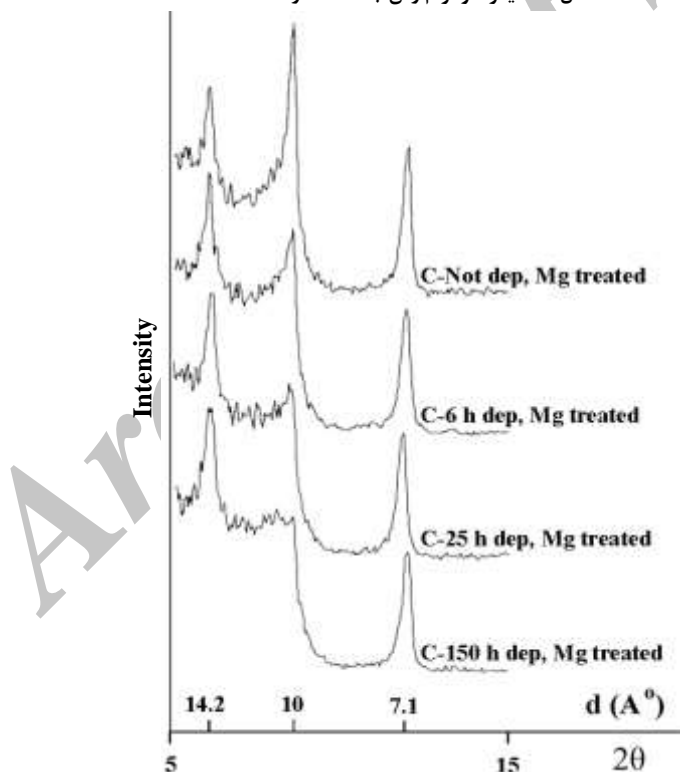
تیز و قوی گویای آن است که میکائی ریز موجود در رس در اختلاط با کانی‌های قابل انبساط نمی‌باشد (Reynolds and Hower, 1970).

شکل ۳ دیفرکتوگرام‌های تابش X برای نمونه‌های رس تخلیه شده به درجات مختلف را نشان می‌دهد.

قوی ایجاد می‌گردید و در صورت غالب بودن کانی‌های میکائی غنی از آهن شامل بایوتایت و گلوکونایت این پیک اساساً وجود نداشت و یا از شدت کمی برخوردار می‌بود (Fanning *et al.*, 1989). بر این اساس، در این رس احتمال حضور مسکوايت به میزان قابل توجه ضعیف می‌باشد. از طرف دیگر وجود پیک‌های



شکل ۲- دیفرکتوگرام رس جدا شده از خاک



شکل ۳- دیفرکتوگرام‌های رس‌های تیمار شده و نشده با تترا فنیل برات سدیم

است که بخشی از رس ایلایت (میکا) به ورمیکولايت تبدیل شده است.

جدول ۱، CEC‌های اندازه‌گیری شده رس‌ها به دو روش CEC_{DB} و CEC_{DB} را نشان می‌دهد. ستون سوم مقادیر CEC_{DB} یا رس‌های تخلیه شده به درجات مختلف به روش باور (Bower, 1952) را نشان می‌دهد.

مقایسه رس‌های تیمار شده با رس تیمار نشده با محلول تترا فنیل برات سدیم نشان می‌دهد که شدت پیک 10° در این رس‌ها کاهش یافته و در عوض شدت پیک 14° و پیک‌های بین 10° و 14° انگستروم افزایش یافته که نشان دهنده تخلیه پتسیم از ایلایت (میکا) در اثر تیمار با تترا فنیل برات سدیم می‌باشد. افزایش شدت پیک 14° نشان دهنده آن

جدول ۱- مقایسه CEC های اندازه گیری شده رس ها به روش های مختلف در شرایط مختلف

مدت زمان تخلیه پتاسیم (ساعت)	درصد تخلیه پتاسیم	CEC _{DB}	CEC _M cmolc/kg
۰/۰	۰/۰	۳۲/۳۵	۳۱/۲۲
۶/۰	۲۲/۱	۳۴/۳۴	۳۷/۹۴
۲۵/۰	۳۰/۸	۳۶/۳۴	۳۸/۹۴
۱۵۰/۰	۴۰/۷	۳۷/۳۵	۴۲/۷۲

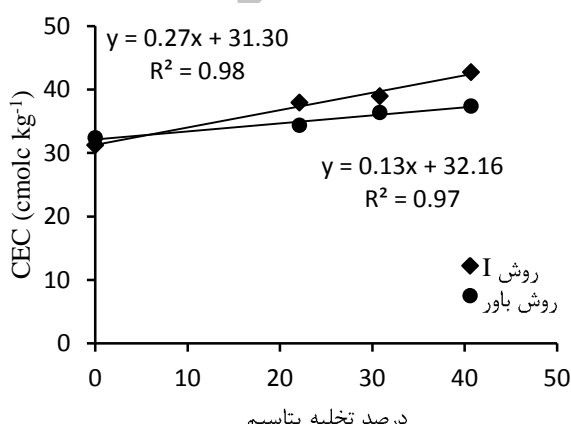
رس به روش باور بعد از تخلیه پتاسیم CEC - CEC_{DB}

- میانگین CEC های رس تخلیه شده از پتاسیم در اجزای هم ارز مختلف پتاسیم و اندازه گیری شده به روش I

محلول (شامل Cl^- , HCO_3^- و SO_4^{2-}) که برابر با جز هم ارز پتاسیم در محلول می باشد، در نظر گرفته شده است. در محاسبه کلسیم تبادلی $[\text{CaX}_2]$, همانند پتاسیم عمل نموده و علاوه بر آن اثر انحلال کربنات کلسیم و گچ (در صورت وجود) بر کلسیم تبادلی نیز اصلاح گردیده است. در این روش اثر دفع آنیونی بر بار کل لحاظ شده و لذا مجموع $[\text{KX}]$ و $[\text{CaX}_2]$ برابر با بار کل در غلظت تعادلی کل معین می باشد.

در روش II ابتدا یک مقدار "مازاد" یا اضافی کاتیون حساب می گردد؛ این مقدار از تفاصل کل کاتیون موجود در سیستم و حاصل ضرب حجم محلول باقیمانده (بر حسب L/kg) و غلظت تعادلی کاتیون به دست می آید. همچنین مقادیر آنیون های "مازاد" نیز حساب می گردد. علاوه بر این ها اثر انحلال کربنات کلسیم و گچ (در صورت وجود) بر کلسیم تبادلی نیز اصلاح می گردد. در این روش دفع آنیونی جدآگانه محاسبه می گردد، و لذا از لحاظ تئوریک مجموع $[\text{KX}]$ و $[\text{CaX}_2]$ برابر با کل نمی باشد.

شکل ۵ مقایسه CEC_M رس ها به روش های I و II را نشان می دهد. تفاوت CEC_M برای دو روش در رس های مختلف در سطح ۵ درصد معنی دار نیست.



شکل ۴- رابطه درصد پتاسیم تخلیه شده و CEC اندازه گیری شده به دو روش

با افزایش درصد تخلیه پتاسیم، CEC_{DB} نیز افزایش می یابد. شکل ۴ نشان می دهد که رابطه این دو پارامتر (CEC و درصد تخلیه پتاسیم) خطی می باشد ($r^2=0.97$)؛ علت آن است که با خروج پتاسیم از فضای بین لایه ای ایلایت (میکا) و تبدیل آن به رس مختلط ایلایت-ورمیکولايت، CEC نیز افزایش می یابد. شکل ۴ نشان می دهد که CEC_M محاسبه شده به روش I نیز با افزایش درصد تخلیه پتاسیم به طور خطی افزایش می یابد ($r^2=0.98$). افزایش خطی هر دو نوع CEC با درصد تخلیه پتاسیم به طور غیر مستقیم گویای آن است که بخشی از پتاسیم آزاد شده، از فضای بین لایه ای رس ایلایت (میکا) تخلیه می گردد. تفاوت شیب دو خط در شکل ۴ به سبب تفاوت Bower, (دو روش اندازه گیری CEC می باشد. در روش باور) 1952 وجود کربنات کلسیم در خاک و یا رس سبب تخمین کمتر از واقع CEC می گردد و در روش I اولاً اثر انحلال کربنات کلسیم اصلاح می گردد و دوم اینکه در اینجا نوع کاتیون اشباع کننده (K^+ , Ca^{2+} , CaCl^+) متفاوت از روش باور (سدیم) می باشد و ثالثاً در این روش خطاهای مرحله دوم روش باور (Polemio and Rhodes, 1977) حذف گردیده است و pH نیز متفاوت می باشد. این تفاوت ها سبب می گردد که علی رغم آنکه در شرایط اندازه گیری CEC_M، بخشی از لایه ها فروریزش (Collapse) می کنند، CEC_M بزرگتر از CEC_{DB} متناظر آن باشد.

داده های اولیه مربوط به تبادل K-Ca در رس های تخلیه شده به درجات متفاوت در جداول ۲، ۳، ۴ و ۵ ارائه شده است. در این جداول $[\text{K}]$ و $[\text{Ca}]$ غلظت های تعادلی دو کاتیون K و Ca بر حسب mmolc/L و $[\text{KX}]$ و $[\text{CaX}_2]$ غلظت های کاتیون های جذب شده K و Ca بر حسب mmolc/kg در حالت تعادل می باشد. مقادیر $[\text{KX}]$ و $[\text{CaX}_2]$ به دو روش I و II محاسبه گردیده است. در روش I، پتاسیم تبادلی از تفاصل پتاسیم کل موجود در سیستم و پتاسیم محلول محاسبه می گردد و پتاسیم محلول معادل کسری از مجموع آنیون های

جدول ۲- داده‌های مربوط به تبادل K-Ca در رس تخلیه نشده

[K]	[Ca]	[KX] Method I	[KX] Method II	[CaX ₂] Method I	[CaX ₂] Method II	CEC Method I	CEC Method II
mmolc/L				mmolc/kg			
۱۰/۲۹	۱۹۵/۵۰	۶۴/۰۰	۶۶/۲۹	۲۳۹/۰۰	۲۸۱/۳۴	۳۰۳/۰۰	۳۰۰/۸۶
۴۳/۱۶	۱۷۱/۵	۱۱۷/۵۸	۱۲۵/۹۸	۱۷۹/۸۷	۲۱۲/۲۲	۲۹۷/۴۶	۲۹۳/۴۳
۱۰۵/۳۹	۱۲۶/۰۰	۱۶۹/۲۹	۱۹۵/۲۶	۱۴۴/۹۰	۱۷۵/۹۲	۳۱۴/۱۹	۳۱۵/۰۵
۱۵۳/۵۵	۹۸/۲۵	۱۹۴/۱۳	۲۲۵/۲۲	۱۲۱/۹۷	۱۴۱/۸۴	۳۱۶/۱۰	۳۰۶/۰۸
۲۰۰/۷۹	۶۳/۸۸	۲۳۰/۵۰	۲۷۴/۰۷	۸۰/۴۹	۹۴/۳۲	۳۱۰/۹۹	۳۰۴/۵۷
۲۴۱/۰۴	۴۰/۶۹	۲۳۶/۴۷	۲۷۸/۵۵	۶۹/۰۶	۷۶/۱۴	۳۰۵/۰۳	۲۹۷/۴۸
۲۶۴/۰۱	۲۲/۱۳	۲۷۵/۴۹	۳۳۴/۳۹	۶۲/۷۸	۶۷/۶۹	۳۳۸/۲۷	۳۳۴/۸۵

جدول ۳- داده‌های مربوط به تبادل K-Ca در رس تخلیه شده برای مدت زمان ۶ ساعت

[K]	[Ca]	[KX] Method I	[KX] Method II	[CaX ₂] Method I	[CaX ₂] Method II	CEC Method I	CEC Method II
mmolc/L				mmolc/kg			
۱۰/۲۶	۱۹۵/۵۲	۸۳/۱۹	۸۸/۰۱	۳۰۶/۳۹	۳۹۸/۲۰	۳۸۹/۵۸	۳۹۸/۷۴
۲۱/۰۴	۱۹۱/۶۷	۱۰۸/۲۶	۱۱۵/۹۳	۲۶۵/۹۰	۳۲۵/۶۵	۳۷۴/۱۶	۳۷۷/۹۹
۴۴/۵۳	۱۷۵/۲۸	۱۳۷/۲۴	۱۵۳/۸۳	۲۳۹/۴۲	۳۰۴/۶۵	۳۷۶/۶۷	۳۷۷/۴۷
۶۹/۷۱	۱۶۰/۹۱	۱۷۱/۷۶	۱۹۵/۲۴	۱۹۵/۴۲	۲۴۹/۵۲	۳۶۷/۱۸	۳۶۸/۹۵
۱۰۷/۵۶	۱۳۵/۴۱	۲۰۱/۹۱	۲۶۶/۵۳	۱۶۵/۳۲	۲۴۶/۵۵	۳۶۷/۲۳	۳۶۹/۶۶
۱۴۹/۶۸	۱۰۱/۱۰	۲۲۶/۴۵	۲۸۵/۳۲	۱۶۲/۸۵	۲۰۲/۵۴	۳۸۹/۳۰	۳۹۳/۱۳
۲۰۲/۳۱	۶۹/۳۲	۲۵۴/۲۰	۲۷۳/۶۶	۱۳۶/۴۱	۱۴۳/۰۸	۳۹۰/۶۱	۴۰۷/۴۸
۲۳۷/۷۱	۴۳/۴۲	۲۶۹/۱۰	۳۳۰/۷۶	۱۱۲/۲۲	۱۲۳/۴۵	۳۸۱/۳۲	۴۰۱/۷۳
۲۹۶/۷۴	۰/۰۰	۳۵۴/۹۶	۴۵۰/۶۸	۲۳/۲۷	۲۳/۲۰	۳۷۸/۲۳	۴۱۷/۸۵

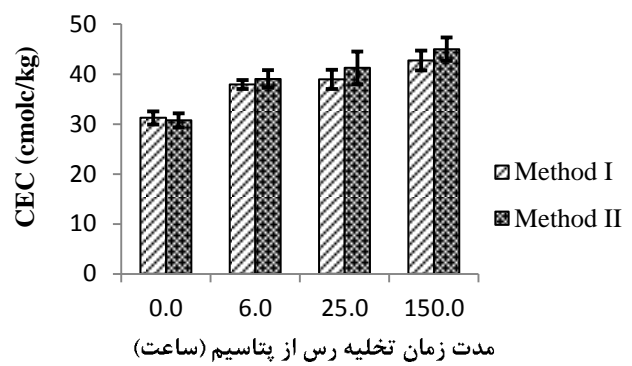
جدول ۴- داده‌های مربوط به تبادل K-Ca در رس تخلیه شده برای مدت زمان ۲۵ ساعت

[K]	[Ca]	[KX] Method I	[KX] Method II	[CaX ₂] Method I	[CaX ₂] Method II	CEC Method I	CEC Method II
mmolc/L				mmolc/kg			
۱۰/۱۴	۱۹۸/۳۵	۸۶/۲۹	۹۰/۰۶	۲۷۲/۵۵	۳۵۶/۰۴	۳۵۸/۸۴	۳۵۸/۷۱
۲۰/۴۴	۱۸۹/۸۵	۱۰۸/۱۳	۱۱۵/۶۱	۲۶۳/۳۷	۳۲۲/۷۴	۳۷۱/۵۰	۳۸۰/۵۰
۴۲/۷۰	۱۷۴/۶۷	۱۴۴/۰۳	۱۵۵/۸۳	۲۳۵/۳۳	۲۸۳/۵۶	۳۷۹/۳۶	۳۹۱/۹۵
۶۶/۱۳	۱۶۰/۵۰	۱۸۰/۰۷	۱۹۷/۳۸	۲۱۰/۶۲	۲۵۲/۶۰	۳۹۰/۶۹	۴۰۴/۷۸
۱۰۳/۸۳	۱۲۲/۷۷	۲۱۷/۶۴	۲۳۷/۹۹	۱۹۲/۱۲	۲۱۸/۱۱	۴۰۹/۷۶	۴۲۶/۷۱
۱۴۴/۲۳	۱۰۳/۴۳	۲۴۲/۹۶	۲۷۷/۹۱	۱۵۰/۰۱	۱۷۵/۷۶	۳۹۳/۶۷	۴۳۴/۹۳
۱۹۷/۷۶	۶۶/۲۹	۲۵۱/۲۲	۲۶۰/۳۵	۱۲۹/۷۳	۱۳۲/۸۰	۳۸۰/۹۵	۴۰۸/۲۱
۲۲۰/۱۴	۴۲/۸۱	۲۸۶/۴۹	۳۷۰/۷۹	۱۳۴/۰۶	۱۴۹/۷۰	۴۲۰/۰۵	۴۶۱/۴۳
۲۸۸/۹۴	۰/۰۰	۳۵۵/۳۲	۴۳۵/۵۵	۴۴/۳۲	۴۴/۲۸	۳۹۹/۶۴	۴۴۶/۵۵

جدول ۵- داده‌های مربوط به تبادل K-Ca در رس تخلیه شده برای مدت زمان ۱۵۰ ساعت

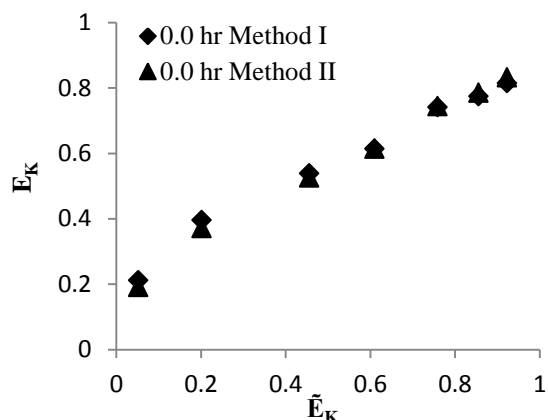
[K]	[Ca]	[KX] Method I	[KX] Method II	[CaX ₂] Method I	[CaX ₂] Method II	CEC Method I	CEC Method II
mmolc/L				mmolc/kg			
۱۰/۱۴	۱۹۳/۹۰	۸۸/۷۹	۹۲/۹۵	۳۰۲/۹۱	۳۸۲/۵۰	۳۹۱/۸۹	۴۱۲/۸۳
۲۰/۷۴	۱۸۸/۲۳	۱۱۳/۷۷	۱۲۰/۴۵	۲۸۸/۲۵	۳۴۸/۸۳	۴۰۲/۰۱	۴۱۱/۸۶
۴۳/۳۱	۱۷۲/۲۴	۱۵۷/۶۴	۱۶۷/۷۷	۲۵۹/۰۵	۲۹۹/۳۳	۴۱۶/۷۰	۴۴۷/۱۲
۶۷/۳۲	۱۵۸/۶۸	۲۰۴/۲۲	۲۰۱/۳۵	۲۴۱/۱۵	۲۳۴/۴۰	۴۴۵/۳۸	۴۶۰/۰۴
۱۰۵/۰۷	۱۳۲/۳۷	۲۲۶/۲۲	۲۵۵/۴۶	۲۱۱/۶۱	۲۳۵/۸۳	۴۴۷/۸۲	۴۶۴/۰۳
۱۴۶/۶۲	۱۰۲/۴۱	۲۶۷/۵۷	۲۸۴/۲۹	۱۶۶/۱۵	۱۷۷/۸۴	۴۳۳/۷۲	۴۸۱/۸۳
۲۰۰/۲۳	۶۷/۵۰	۳۰۱/۳۹	۳۱۲/۰۱	۱۴۳/۶۶	۱۴۷/۵۸	۴۴۵/۰۵	۴۵۶/۸۷
۲۳۷/۷۱	۴۲/۷۶	۳۰۵/۴۴	۳۳۱/۴۱	۱۲۶/۱۵	۱۳۰/۱۲	۴۳۱/۰۹	۴۶۲/۴۹
۳۰۴/۵۹	۰/۰۰	۳۹۳/۷۸	۴۱۶/۰۲	۳۷/۲۹	۳۷/۲۸	۴۳۱/۰۵	۴۵۰/۰۰

آنیونی معادل صفر باشد)، در این بررسی محاسبات عمدتاً بر اساس روش I انجام شد که در آن مجموع $[KX_2]+[CaX_2]$ برابر باز کل بوده و دفع آنیونی نیز در این مجموع لحاظ شده است. یکی از اشکالات روش‌های معمول اندازه‌گیری کلسیم تبادلی آن است که اثرات اتحال یا هوادیدگی کانی‌های کلسیم‌دار خاک (مثلًا $CaCO_3$ و $CaSO_4$, $2H_2O$) در حین اندازه‌گیری را بر روی این پارامتر اصلاح نمی‌نمایند. در نتیجه خطای حاصله ممکن است خیلی زیاد باشد. به گزارش Amrhein and Suarez (1990) خطای کلسیم تبادلی در خاک‌های گچی بین ۳۰ تا ۵۰۰ درصد و در خاک‌های آهکی بین ۳ تا ۲۰ درصد می‌باشد. در شکل‌های ۱۰، ۱۱، ۱۲ و ۱۳ اثرات اصلاح خطای حاصل از اتحال کربنات کلسیم بر همدماهی جذب کلسیم نشان داده است. در صورت عدم رفع این خطأ، ترجیح کلسیم نسبت به کاتیون یا کاتیون‌های دیگر بیشتر از آنچه هست نشان داده می‌شود؛ نظری این نتایج برای تبادل Na- Ca توسط ۱۹۹۱ Amrhein and Suarez (1991) نشان داده شده است.

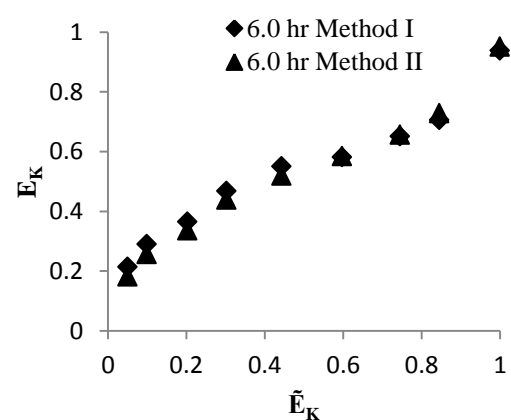


شکل ۵- مقایسه CEC_M رس‌ها که به دو روش I و II تعیین گردیده است.

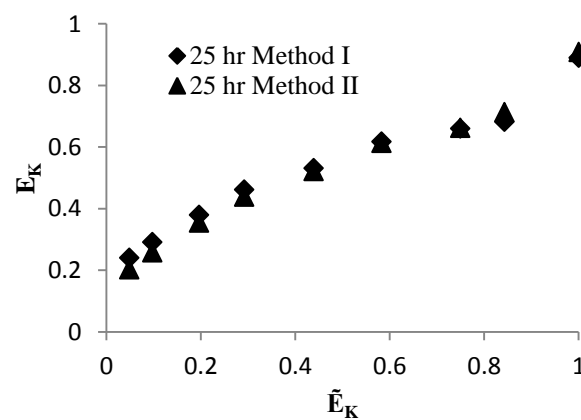
شکل‌های ۶، ۷ و ۹ همدماهای جذب پتابسیم در رس‌ها را که به دو روش I و II محاسبه شده‌اند نشان می‌دهند. گرچه در اجزای هم ارز کم پتابسیم، اندکی تفاوت بین دو روش مشاهده می‌گردد، ولی این تفاوت‌ها در حدی نیست که این دو روش را از هم متمایز کند و یا بر ترجیح یک کاتیون بر کاتیون دیگر اثر گذارد. با این وجود، از آنجایی که در روش II مجموع $[CaX_2]$ و $[KX]$ الزاماً برابر باز کل نمی‌باشد (مگر آنکه دفع



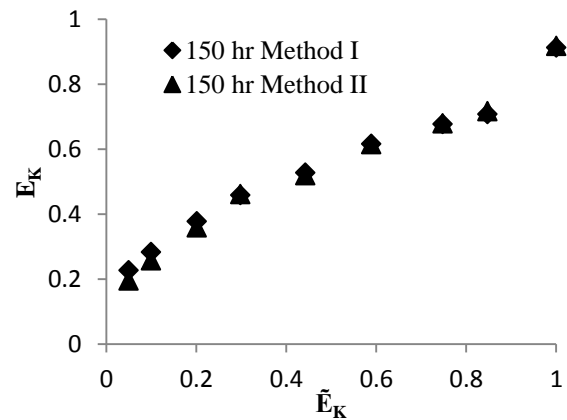
شکل ۶- همدماهی جذب پتابسیم در رس تخلیه نشده از پتابسیم و محاسبه شده به دو روش I و II



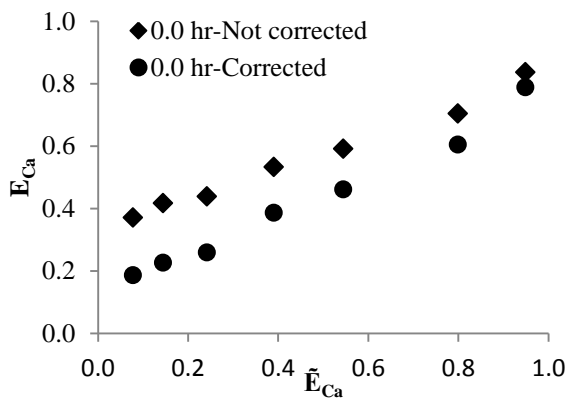
شکل ۷- همدماهی جذب پتابسیم در رس تخلیه شده به مدت ۶ ساعت و محاسبه شده به دو روش I و II



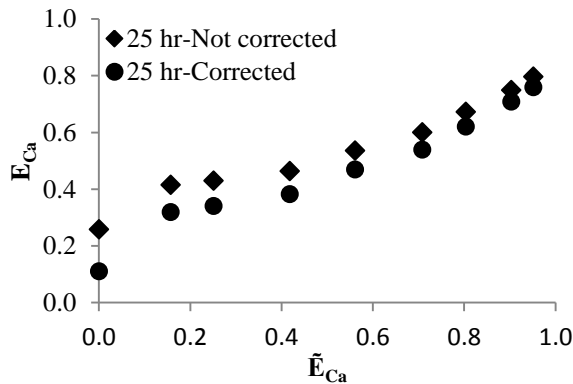
شکل ۸- همدماهی جذب پتابسیم در رس تخلیه شده به مدت ۲۵ ساعت و محاسبه شده به دو روش I و II



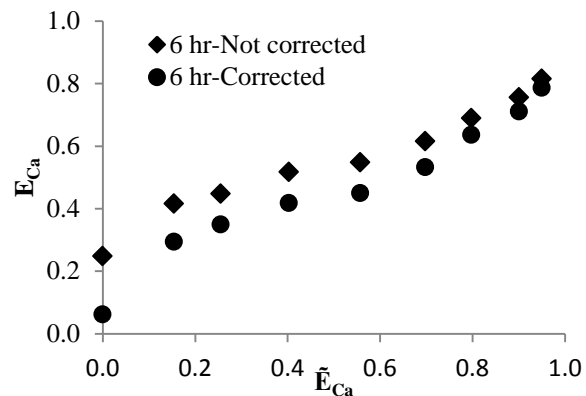
شکل ۹- همدماهی جذب پتابسیم در رس تخلیه شده به مدت ۱۵۰ ساعت و محاسبه شده به دو روش I و II



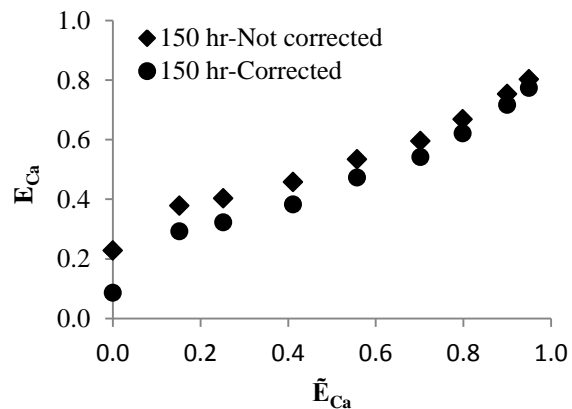
شکل ۱۰- اثرات اصلاح خطای حاصل از انحلال کربنات کلسیم بر همدماهی جذب کلسیم در رس تخلیه نشده



شکل ۱۲- اثرات اصلاح خطای حاصل از انحلال کربنات کلسیم بر همدماهی جذب کلسیم در رس تخلیه شده به مدت ۲۵ ساعت



شکل ۱۱- اثرات اصلاح خطای حاصل از انحلال کربنات کلسیم بر همدماهی جذب کلسیم در رس تخلیه شده به مدت ۶ ساعت



شکل ۱۳- اثرات اصلاح خطای حاصل از انحلال کربنات کلسیم بر همدماهی جذب کلسیم در رس تخلیه شده به مدت ۱۵۰ ساعت

در این بررسی خطای اندازه‌گیری کلسیم تبادلی بین میکاها قابل ملاحظه باشد، احتمالاً به سبب پوشش اکسید آهن روی ذرات میکا می‌باشد.

شکل‌های ۱۴، ۱۵، ۱۶ و ۱۷ همدماهای تبادل K-Ca در رس‌های تخلیه شده به درجات متفاوت را نشان می‌دهند. در این شکل‌ها همدماهی عدم ترجیح K-Ca در شرایط آزمایش (M=۰/۳ M) نیز نشان داده شده است. همدماهی عدم ترجیح مربوط به شرایطی است که انرژی آزاد استاندارد محصولات واکنش با انرژی آزاد استاندارد واکنش‌گرها در واکنش تبادل یکسان باشد، یعنی $\Delta G_r^{\circ} = 0$ باشد (Jensen and Babcock, 1973; Pal and Poonia, 1978 Sposito, 2008).

$$E_K = \left[\frac{A(1-\tilde{E}_{Ca})^2}{\tilde{E}_{Ca} + A(1-\tilde{E}_{Ca})^2} \right]^{0.5}$$

در این رابطه E_K جز هم ارز پتانسیم در فاز تبادلی و $A = \bar{Q} \frac{Y_{Ca}^2}{2Y_{Ca}}$ که در آن K و γ_{Ca} ضرایب فعالیت دو یون K و Ca

در ۳۱/۲ تا ۷۶/۷ درصد بود.

با استفاده از روش II، امکان برآورده دفع آنیونی یا درست‌تر امکان برآورده تفاضل دفع و جذب آنیونی وجود دارد. در جدول ۶ مقادیر تفاضل دفع و جذب آنیونی برای رس‌های تخلیه شده به درجات متفاوت ارائه گردیده است.

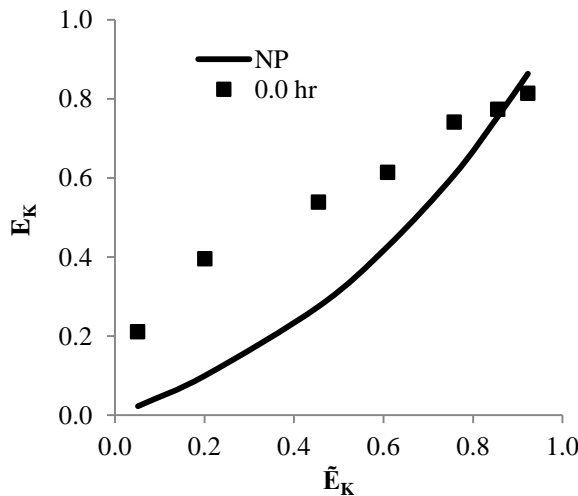
جدول ۶- تفاضل دفع و جذب آنیونی در رس‌های تخلیه شده به درجات متفاوت

مدت زمان تخلیه رس ساعت	تفاضل دفع و جذب آنیونی cmolc/kg
۵/۶۸	۰/۰
۶/۶۳	۶/۰
۴/۱۴	۲۵/۰
۱/۴۴	۱۵۰/۰

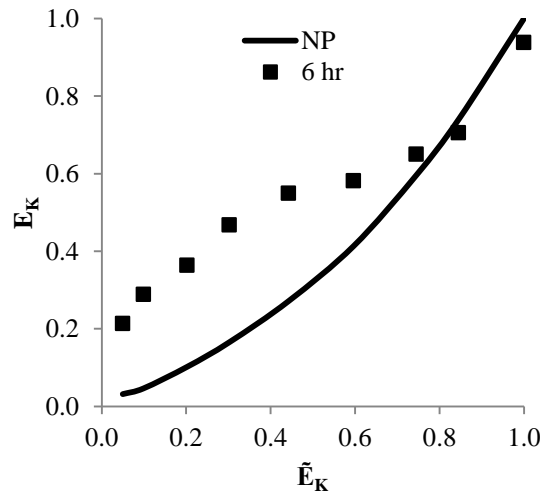
مشیت بودن مقادیر تفاضل گویای آن است که در این رس‌ها جذب آنیونی بیشتر از دفع آنیونی می‌باشد. به گزارش www.SID.ir

- در واکنش تبادلی ثابت تعادل ترمودینامیکی برابر با ۱ باشد.
- کاتیون‌های جذب شده در محلول جامد ایده آل قرار دارند. اعمال این دو فرض به معنی آن است که در معادله ونسلو، $K_V = 1$ باشد.

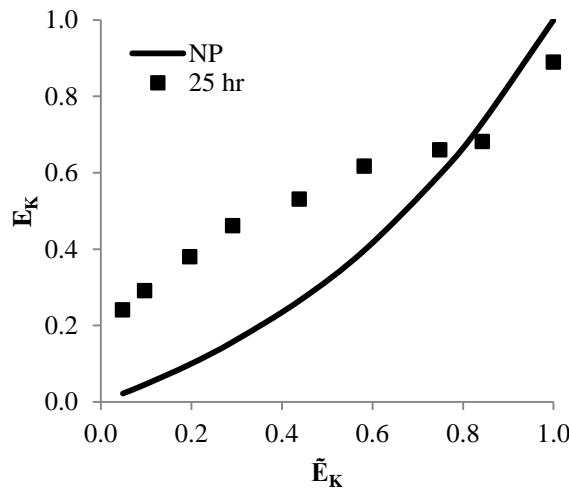
در فاز محلول و $\bar{Q} = \sum |Z_i| C_i = (C_K) + (2C_{Ca})$ که در این رابطه C_K و C_{Ca} غلظت‌های این دو یون بر حسب mol/L و \bar{Q} بر حسب molc/L بوده و $\tilde{E}_{Ca} = \frac{[Ca]}{[Ca] + [K]}$ که در آن $[Ca]$ و $[K]$ mmolc/L غلظت‌های این دو یون در فاز محلول بر حسب می‌باشد. این معادله بر اساس دو فرض زیر استوار است :



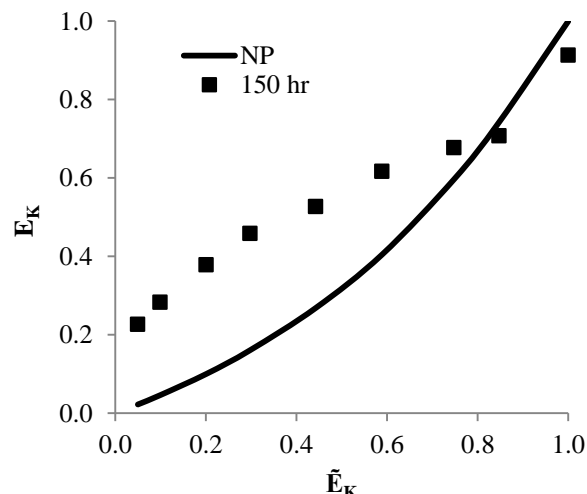
شکل ۱۴- همدمای تبادلی K-Ca در رس تخلیه نشده



شکل ۱۵- همدمای تبادلی K-Ca در رس تخلیه شده به مدت ۶ ساعت



شکل ۱۶- همدمای تبادلی K-Ca در رس تخلیه شده به مدت ۲۵ ساعت

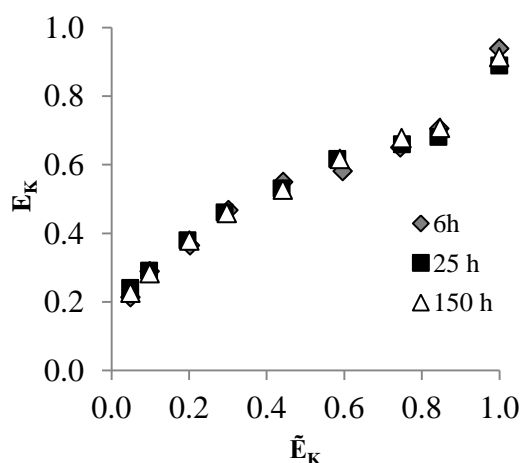


شکل ۱۷- همدمای تبادلی K-Ca در رس تخلیه شده به مدت ۱۵۰ ساعت

مناطق گوهای شکل (Wedge zones) قرار داشته که این مکان‌ها به علت موقعیت فضائی و اینکه انرژی هیدریشن (Hydration energy) پتانسیم به مراتب کمتر از کلسیم می‌باشد، پتانسیم را به کلسیم ترجیح می‌دهند (Sawhney, 1972). با افزایش \tilde{E}_K و پرشدن تدریجی این مکان‌ها توسط پتانسیم، ترجیح پتانسیم به کلسیم کاهش یافته و در $\tilde{E}_K > 0.8$ کلسیم اندکی بر پتانسیم ترجیح داده می‌شود. به نظر می‌رسد در این شرایط، مکان‌های موجود که عمدتاً در سطوح بیرونی رس (و نیز سطوح ماده آلی) قرار دارند، قادر محدودیت فضائی بوده و

مقایسه همدماهای به دست آمده برای سیستم دو تایی K-Ca با همدمای عدم ترجیح نشان دهنده آن است که تبادلگر (رس) در رس تخلیه نشده در $\tilde{E}_K \leq 0.8$ و در رس‌های تخلیه شده در $\tilde{E}_K \leq 0.76$ پتانسیم را نسبت به کلسیم ترجیح می‌دهند. ترجیح پتانسیم نسبت به کلسیم در خاک‌ها و اجزای آن توسط Goulding and Talibudeen, 1984; Feigenbaum *et al.*, 1991; Saha *et al.*, 2001). علت ترجیح پتانسیم توسط تبادلگر آن است که بخشی از مکان‌های جذبی رس در بین لایه‌های میکائی هوادیده در

نموده‌اند. این شکل بیانگر آن است که تخلیه رس از پتاسیم ظاهراً بر ویژگی‌های ترجیحی تبادلگر اثری نداشته است. شکل ۱۹ نشان می‌دهد که در جریان تبادل K-Ca فرو ریزش لایه‌ای صورت گرفته است، زیرا در هر ۳ رس پس از تیمار با محلول با جز هم ارز $0.05\text{ mol}/\text{L}$ پتاسیم شدت پیک 10°A افزایش یافته است. به عبارت دیگر در جریان تبادل پتاسیم با کلسیم در این رس‌ها، انتقال فازی (Phase transition) صورت گرفته یعنی همزمان ساختار کانی تغییر نموده است (Reichenbach, 1968). اما مقادیر CEC_M در جدول ۱ (که با درصد تخلیه پتاسیم افزایش می‌یابد) گویای آن است که فرو ریزش لایه‌ای در این رس‌ها کامل نبوده است. علاوه بر این، وجود پیک 8°A در شکل‌های فوق که پس از تیمار رس با محلول حاوی پتاسیم ظاهر می‌گردد ممکن است شاهدی دیگر بر فرو ریزش ناقص لایه‌ها در این رس‌ها باشد. این پیک، پیک مرتبه دوم یک پیک 16°A می‌باشد. احتمالاً این پیک حاصل ورود پتاسیم هیدراته (با قطر 662 nm) در بین لایه‌هایی است که در هنگام تخلیه پتاسیم از رس در اثر هوادیدگی لایه‌ای (Layer weathering) به صورت منظم تخلیه شده‌اند. بنابراین چنین به نظر می‌رسد که با وجود آنکه بخشی از لایه‌های رس پس از تیمار با محلول حاوی پتاسیم فرو ریزش می‌نماید، ولی بخش دیگر با یون‌های هیدراته پتاسیم اشغال می‌گردد. از طرف دیگر معقول است تصور کنیم که هوادیدگی لبه‌ای در این رس‌ها مشابه بوده و پر شدن مکان‌هایی که در مناطق گوهای قرار دارند (پس از تیمار با محلول حاوی پتاسیم) در رس‌ها یکسان باشد. لذا بر اساس مطالب فوق باید انتظار داشت ویژگی‌های ترجیحی این تبادل‌گرها نیز متفاوت نباشد.



شکل ۱۸- همدماهای تبادل K-Ca در درجات مختلف تخلیه پتاسیم

شکل‌های ۲۰ و ۲۱ همدماهای تبادل K-Ca در دو قدرت

ترجیح کاتیون‌ها بر اساس تفاوت‌های دو کاتیون هیدراته پتاسیم و کلسیم صورت گیرد.

جدول ۷ مقادیر پتانسیل یونی (که از تقسیم ظرفیت یون Misono بر شاعع یون به دست می‌آید) و پارامتر نرمی (Misono softness parameter) ارائه می‌دهد. هر چه پتانسیل یونی یک یون بیشتر باشد، قدرت جایگزینی پروتون آن یون بیشتر بوده و هر چه نرمی اسید لوئیس (که از جمله به وسیله پارامتر نرمی Misono اندازه‌گیری می‌گردد) بیشتر باشد، یون کمپلکس قوی‌تری با گروه‌های عاملی ماده آلی تشکیل داده و در نتیجه کمتر قابل تبادل می‌گردد (Fletcher *et al*, 1984b).

جدول ۷- پارامترهای مختلف مربوط به دو کاتیون پتاسیم و کلسیم

Ionic Cation potential ¹ (nm ⁻¹)	Misono softness parameter	Hydrated radius ² (nm)	IPh (nm ⁻¹)
K ⁺	7/2	0.19	0.231
Ca ²⁺	20/2	0.16	0.412

1- Data from Marchuk and Rengasamy (2011)

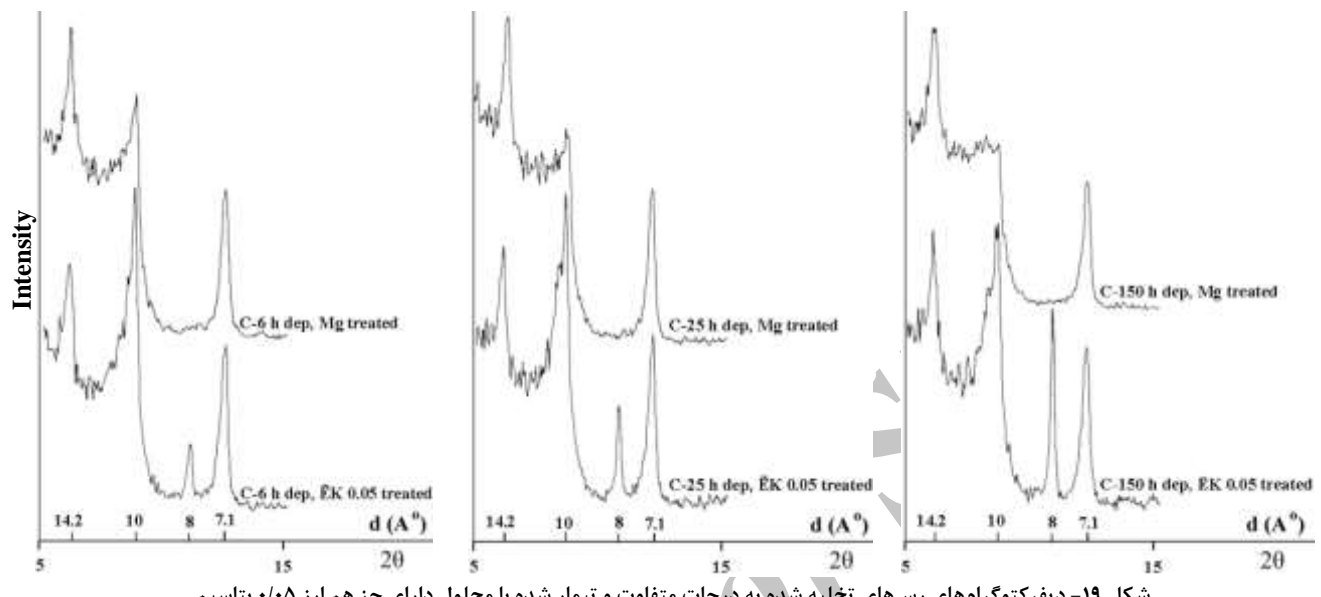
2- Data from Essington (2004)

از آنجایی که پارامتر نرمی Misono برای دو یون پتاسیم و کلسیم نزدیک به هم می‌باشد، و از طرف دیگر درصد کربن آلی رس کم می‌باشد، لذا تفاوت عمدۀ دو یون در پتانسیل یونی آنها می‌باشد. لذا هنگامی که مکان‌های سطحی از محدودیت فضایی برخوردار نباشند، تبادلگر باید کلسیم را بر پتاسیم ترجیح دهد. اما اگر پتانسیل یونی را از تقسیم ظرفیت بر شاعع هیدراته یون به دست آوریم (یعنی IPh را) و کاتیون‌ها به صورت کمپلکس‌های کره بیرونی (Outer-sphere complex) باشند، در این صورت تفاوت برای دو یون کمتر شده و لذا ترجیح کلسیم توسط تبادلگر به نسبت کمتر می‌گردد و در نتیجه در $E_K > 0.8$ هر چند کلسیم بر پتاسیم ترجیح داده می‌شود ولی این ترجیح زیاد نباشد. به گزارش Shainberg *et al* (1980)، در رس ایلات (که سطوح بیرونی غالب می‌باشد) در E_{Ca} کم (یا در E_K زیاد) تمایل تبادلگر به جذب کلسیم افزایش می‌یابد. همچنین هنگامی که بیشتر مکان‌های تبادلی توسط یک کاتیون (در اینجا پتاسیم) اشغال می‌گردد، ترجیح نسبی آن کاتیون به سبب تغییر آنتروپی آرایشی (Configurational entropy) باستی کاهش یابد (McBride, 1979).

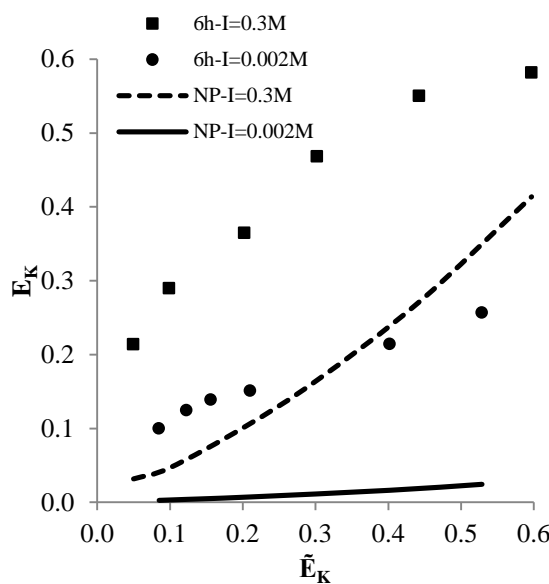
شکل ۱۸ همدماهای تبادل K-Ca را به صورت یکجا نشان می‌دهد. این شکل گویای آن است که همدماهای رس‌های تخلیه شده به مدت ۶ تا ۱۵۰ ساعت کاملاً بر هم تطبیق

بيشترى جذب مى گردد. تفاوت دو همدهما در هر يك از شكلها بيانگر اثر رقت-ظرفیت (Valence-dilution effect) مى باشد. از طرف ديگر ترجيح ترموديناميکي K^+ بر Ca^{2+} در هر دو شكل آشكار مى باشد.

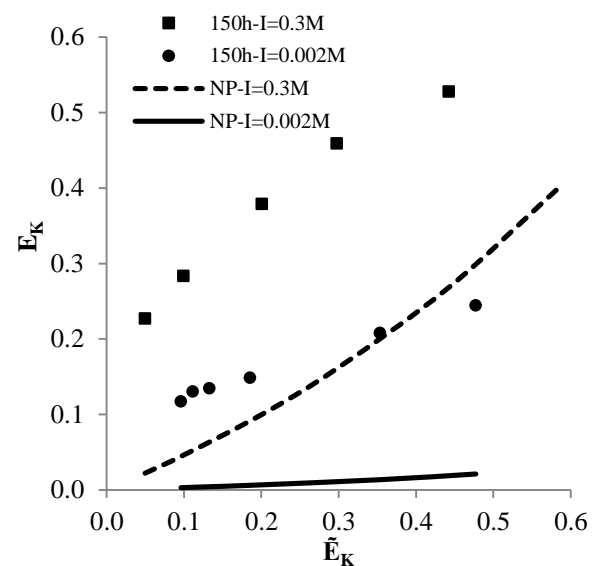
يونى برای رس های تخلیه شده به درجات متفاوت را نشان مى دهد. اين نتایج نشان مى دهند که با افزایش قدرت يونى ترجيح ظاهری K^+ افزایش مى يابد (در E_K معین، $E_K \tilde{E}_K$ بيشتر مى گردد) و با کاهش آن يا رقيق شدن محلول تعادلي، Ca^{2+}



شکل ۱۹- دifrکتوگرام های رس های تخلیه شده به درجات متفاوت و تیمار شده با محلول دارای جز هم ارز 0.05% پتاسیم



شکل ۲۰- همدهماهای تبادل K-Ca در دو قدرت يونى برای رس تخلیه شده به مدت ۶ ساعت



شکل ۲۱- همدهماهای تبادل K-Ca در دو قدرت يونى برای رس تخلیه شده به مدت ۱۵۰ ساعت

مشاهده مى شود، ولی اين تفاوتها به اندازه اى نىست که اين دو روش را از هم متمايز کند و يا بر ترجيح يك کاتيون بر کاتيون دیگر اثر گذار باشد. اصلاح اثر هواديدگى منجر به کاهش $31/2$ تا $76/7$ درصدی کلسیم تبادلی گردید. همچنین در رس های مورد مطالعه میزان جذب آنيونی بيشتر از دفع آنيونی بود. مقایسه همدهماهای K-Ca با همدهماي عدم ترجيح نشان داد که

نتيجه گيري کلى تخلیه پتاسیم از کانی های پتاسیم دار در ابتدا با سرعت خيلي زیاد انجام و سپس سرعت آن کاهش یافت. مقایسه همدهماهای جذب پتاسیم محاسبه شده به دو روش مختلف نشان داد که اگرچه در اجزای هم ارز کم پتاسیم، اندکی تفاوت بین دو روش

در اجزای هم ارز کم پتانسیم تمامی رس‌ها پتانسیم را به کلسیم

تیمار با جز هم ارز ۰/۰۵ پتانسیم وقوع انتقال فازی در این رس‌ها طی تبادل پتانسیم با کلسیم را تأثید نمود. با این حال افزایش مقادیر CEC با افزایش زمان تخلیه گویای آن است که فوریزیش لایه‌ای در این رس‌ها کامل نبوده است. مقایسه همدماهای مربوط به تبادل K-Ca در دو قدرت یونی متفاوت نشان داد که با افزایش قدرت یونی ترجیح ظاهری برای K و با رقیق شدن محلول، ترجیح برای کلسیم افزایش می‌یابد.

REFERENCES

- Amrhein, C. and Suarez, D. L. (1990). Procedure for determining sodium-calcium selectivity in calcareous and gypsiferous soils. *Soil Science Society of American Journal*, 54, 999-1007.
- Amrhein, C. and Suarez, D. L. (1991). Sodium-calcium exchange with anion exclusion and weathering corrections. *Soil Science Society of American Journal*, 55, 698-706.
- Bassett, W. A. (1959). The origin of the vermiculite deposit at Libby, Montana. *The American Mineralogist*, 44, 282-299.
- Bernas, B. (1968). A new method for decomposition and comprehensive analysis of silicates by atomic spectrophotometry. *Analytical Chemistry*, 40, 1682-1687.
- Bolt, G. H., Sumner, M. E. and Kamphorst, A. (1963). A study of the equilibrium between three categories of potassium in an illitic soil. *Soil Science Society American Proceedings*, 27, 294-299.
- Bower, C.A., Reitmeir, R.F. and Fireman, M. (1952). Exchangeable cation analysis of saline and alkali soils. *Soil Science*, 73, 251-261.
- Brown, G. and Newman, A. C. D. (1970). Cation exchange properties of micas III. Release of potassium sorbed by potassium-depleted micas. *Clay Minerals*, 8, 273-278.
- Buckley, D.E. and Cranston, R.E. (1971). Atomic absorption analysis of 18 elements from a single decomposition of aluminosilicate. *Chemical Geology*, 7, 273-284.
- Chi, C. L., Emerson, W. W. and Lewis, D. G. (1977). Exchangeable calcium, magnesium and sodium and the dispersion of illites in water. I. characterization of illites and exchange reactions. *Australian Journal of Soil Research*, 28, 243-253.
- Cho, Y. and Komarneni, S. (2009). Cation exchange equilibria of cesium and strontium with K-depleted biotite and muscovite. *Applied Clay Science*, 44, 15–20.
- Chung, J. B., Zasoski, R.G. and Burau, R.G. (1994). Aluminum-potassium and aluminum-calcium exchange equilibria in bulk and rhizosphere. *Soil Science Society of American Journal*, 58, 1376-1382.
- Dolcater, D. L., Lotse, E. G., Eyers, J. K. and Jackson, M. L. (1968). Cation exchange selectivity of some clay-sized minerals and soil materials. *Soil Science Society American Proceedings*, 32, 795-798.
- Essington, M. E. (2004) *Soil and water chemistry: an integrative approach*. CRC Press, Boca Raton, FL USA.
- Evangelou, V. P. and Lumbanraja, J. (2002). Ammonium-Potassium-Calcium exchange on vermiculite and hydroxy-aluminum vermiculite. *Soil Science Society of American Journal*, 66, 445-455.
- Fanning, D.S., Keramidas, V.Z. and El-Desoky, M.A. (1989). Micas. In J. B. Dixon and S. B. Weed. (2nd Ed.), *Minerals in Soil Environments*. (pp. 551-634). Soil Science Society of America, Madison, WI.
- Feigenbaum, S.; Bar-Tal, A., Portnoy, R. and Sparks, D. (1991). Binary and ternary exchange of potassium on calcareous montmorillonitic soils. *Soil Science Society of American Journal*, 55, 49-56.
- Fletcher, P., Sposito, G. and LeVesque, C.S. (1984b). Sodium-calcium-magnesium exchange reactions on a montmorillonitic soil: I. Binary exchange reactions. *Soil Science Society of American Journal*, 48, 1016-1021.
- Goulding, K. W. T. (1983). Thermodynamics of potassium exchange in soils and clay minerals. *Advances in Agronomy*, 36, 215-264.
- Goulding, K. W. T. and Talibudeen, O. (1980). Heterogeneity of cation exchange sites for K-Ca exchange in aluminosilicates. *Journal of Colloid and Interface Science*, 78, 15-24.
- Goulding, K. W. T. and Talibudeen, O. (1984). Thermodynamics of K-Ca exchange in soils. I. Effects of potassium and organic matter residues in soils from the Broadbalk and Saxmundham Rotation I Experiments. *Journal of Soil Science*, 35, 397-408.
- Jackson, M. L. (1963). Interlayering of expandable layer silicates in soils by chemical weathering. *Clays and Clay minerals*, 11, 29-46.
- Jensen, H.E., K.L., Babcock. 1973. Cation exchange equilibria on a Yolo loam soil. *Hilgradia*, 41, 475-487.

- Kozak, L. M. and Huang, P. M. (1971). Adsorption of hydroxyl-Al by certain phyllosilicates and its relation to K/Ca cation exchange selectivity. *Clays and Clay minerals*, 19, 95-102.
- Lanyon, L. E. and Heald, W. R. (1982) Magnesium, calcium, strontium, and barium. In A. L. Page *et al.* (Ed.), *Methods of soil analysis*. (Part 2). (pp. 247-261). Soil Science Society of America, Madison, WI.
- Le Roux, J. and Rich, C. I. (1969). Ion selectivity of micas as influenced by degree of potassium depletion. *Soil Science Society American Proceedings*, 33, 684-690.
- Loeppert, R.H. and Suarez, D.L. (1996) Carbonate and gypsum. In D. L. Sparks (Ed.), *Methods of soil analysis*, (pp. 437-474). Soil Science Society of America, Madison, WI.
- Marchuk, A. and Rengasamy, P. (2011). Clay behavior in suspension is related to the ionicity of clay-cation bonds. *Applied Clay Science*, 53, 754-759.
- Martin, H. W. and Sparks, D. L. (1983). Kinetics of nonexchangeable potassium release from two Coastal Plain Soils. *Soil Science Society of American Journal*, 47, 883-887.
- McBride, M. B. (1979). An interpretation of cation selectivity variations in $M^+ - M^{2+}$ exchange on clays. *Clays and Clay Minerals*, 27, 417-422.
- Murdock, L. W. and Rich, C. I. (1972). Ion selectivity in three soil profiles as influenced by mineralogical characteristics. *Soil Science Society of American Journal*, 36, 167-171.
- Newman, A. C. D. and Brown, G. (1969). Delayed exchange of potassium for some edges of mica flakes. *Nature*, 223, 175-176.
- Norrish, K. (1973). Factors in the weathering of mica to vermiculite. In: *Proceeding of the International Clay Conference*, 1972., J. M. serratoso (Ed.), Div. de Ciencias, Madrid, pp: 417-432.
- Pal R. and Poonia, S. R. (1978). Predictive approaches for cation exchange equilibria in soils. *Journal of Scientific and Industrial Research*, 37, 134-143.
- Polemio, M. and Rhoades, J. D. (1977). Determining cation exchange capacity: A new procedure for calcareous and gypsiferous soils. *Soil Science Society of American Journal*, 41, 524-527.
- Rausell-Colom, J. A., Sweetman, T. R. L., We lls, B. and Norrish, K. (1965) Studies in the artificial weathering of micas. In E. G. Hallsworth and D. V. Crawford (Ed.), *Experimental pedology*. (pp. 40-70). Butterworth, London.
- Reichenbach, H. G. V. (1968). Cation exchange in the interlayers of expandible layer silicates. *Clay Minerals*, 7, 331-341.
- Reichenbach, R. G. V. and Rich, C. I. (1975) Fine-grained micas in soils. In J. E. Gieseking (Ed.), *Inorganic soil components* (Vol. 2). (pp. 59-95). Springer Verlag, New York.
- Reynolds, R. C. and Hower, H. (1970). The nature of interlayering in mixed-layer illite-montmorillonites. *Clays and Clay Minerals*, 18, 25-36.
- Rich, C. I. and Black, W. R. (1964). Potassium exchange as affected by cation size, pH, and mineral structure. *Soil Science*, 97, 384-390.
- Ross, G. J. (1971). Relation of potassium exchange and fixation to degree of weathering and organic matter content in micaceous clays of podzol soils. *Clays and Clay Minerals*, 19, 167-174.
- Sáñchez-Pastor, N., Aldushin, K., Jordan, G. and Schmahl, W. W. (2010). $K^+ - Na^+$ exchange in phlogopite on the scale of a single layer. *Geochimica et Cosmochimica Acta*, 74, 1954-1962.
- Saha, U. K., Taniguchi, S. and Sakurai, K. (2001). K/Ca and NH_4/Ca selectivity of hydroxyaluminium-interlayered vermiculite and montmorillonite: contribution from regular and frayed edge exchange sites. *Soil Science and Plant Nutrition*, 47 (3), 455-466.
- Sawhney, B. L. (1970). Potassium and cesium ion selectivity in relation to clay mineral structure. *Clays and Clay Minerals*, 18, 47-52.
- Sawhney, B. L. (1972). Selective sorption and fixation of cations by minerals: A review. *Clays and Clay Minerals*, 20, 93-100.
- Scott, A. D. (1968). Effect of particle size on interlayer potassium exchange in mica.. In: *Trans 9th International Congress of Soil. Science*. 11 Aust., Adelaide, pp. 649-669.
- Scott, A. D. and Smiths, S. J. (1967). Visible change in macro mica particles that occur with potassium depletion. *Clays and Clay Minerals*, 15, 357-373.
- Shainberg, I., Oster, J. D. and Wood, J. D. (1980). Sodium/calcium exchange in montmorillonite and illite suspensions. *Soil Science Society of American Journal*, 44, 960-964.
- Shen, S., Tu, S. I. and Kemper, W. D. (1997). Equilibrium and kinetic study of ammonium adsorption and fixation in sodium-treated vermiculite. *Soil Science Society of American Journal*, 61, 1611-1618.
- Smith, S. J. and Scott, A. D. (1966). Extractable potassium in Grundite illite: 1.Method of extraction. *Soil Science*, 102, 115-122.
- Sposito, G. (2008) *The Chemistry of Soils* (2nd Ed.). Oxford University Press. New York. USA.
- Sposito, G., LeVesque, C. S. and Hesterberg, D. (1986). Calcium-magnesium exchange on illite in the presence of adsorbed sodium. *Soil Science Society of American Journal*, 50, 905-909.
- Tucker, B. M. (1985). The partitioning of exchangeable magnesium, calcium and sodium in relation to their effects on the dispersion of Australian clay subsoils. *Australian Journal of Soil Research*, 23, 405-416.
- Whitting, L. D., and Allardice, W. R. (1986). X-ray diffraction techniques. In A. Klute (Ed.), *Methods of soil analysis*. (Part 1). (pp. 331-362). Soil Science Society of America, Madison, WI.